



ТОМСКИЙ  
ПОЛИТЕХНИЧЕСКИЙ  
УНИВЕРСИТЕТ

На правах рукописи

A handwritten signature in blue ink, which appears to read "Д. Островский".

**Островский Дмитрий Юрьевич**

**Разработка способов переработки  
уран- и ртутьсодержащих отходов**

АВТОРЕФЕРАТ  
диссертации на соискание ученой степени  
кандидата технических наук

2.6.8 – Технология редких, рассеянных  
и радиоактивных элементов

Томск – 2022

Работа выполнена в федеральном государственном автономном образовательном учреждении высшего образования «Национальный исследовательский Томский политехнический университет»

**Научный руководитель:**

**Егоров Николай Борисович**

кандидат химических наук, доцент, ФГАОУ ВО «Национальный исследовательский Томский политехнический университет», доцент отделения ядерно-топливного цикла Инженерной школы ядерных технологий

**Официальные оппоненты:**

**Ананьев Алексей Владиленович**

доктор химических наук, старший научный сотрудник, Акционерное общество «Высокотехнологический научно-исследовательский институт неорганических материалов имени академика А.А. Бочвара» (г. Москва), главный научный сотрудник

**Сачков Виктор Иванович**

доктор химических наук, доцент, ФГАОУ ВО «Национальный исследовательский Томский государственный университет» (г. Томск), заведующий лабораторией химических технологий

Защита состоится «28» сентября в 15:00 часов на заседании диссертационного совета ДС.ТПУ.21 Национального исследовательского Томского политехнического университета по адресу: 634034, г. Томск, проспект Ленина, 2, ауд. 332.

С диссертацией можно ознакомиться в научно-технической библиотеке Томского политехнического университета и на сайте dis.tpu.ru.

Автореферат разослан «\_\_\_» \_\_\_\_\_ 2022 г.

Ученый секретарь  
диссертационного совета ДС.ТПУ.21,  
канд. хим. наук, доцент



Егоров Н.Б.

## ОБЩАЯ ХАРАКТЕРИСТИКА РАБОТЫ

**Актуальность темы исследования.** Атомная промышленность Российской Федерации играет большую роль в обеспечении национальной и энергетической безопасности страны. В числе главных направлений, стоящих перед атомной промышленностью, значится обеспечение ядерной, радиационной и экологической безопасности на высочайшем уровне для конкурирования с другими источниками энергии. Для достижения этой цели требуется решить, в том числе, вопрос с отходами атомной промышленности, содержащими уран и другие элементы.

Отходы атомной промышленности можно условно поделить на две группы: «ядерное» наследие и отходы, образующиеся в результате производственной деятельности предприятий ядерного топливного цикла и атомных электростанций в виде отработанного ядерного топлива. Проблема с отходами атомной промышленности заключается в их многообразии, отличающихся активностью, агрегатным состоянием, количественным и качественным составом, что не позволяет использовать унифицированный метод переработки. Из этого следует, что для каждого отдельного производства разрабатывается и совершенствуется определенная технологическая схема.

Кроме того, в «ядерное» наследие входит также и ртутная проблема, так как для термоядерного оружия были созданы производства по разделению изотопов лития амальгамным методом. Продолжительное использование ртути в производственных циклах на предприятиях привело к тому, что ртуть и ее соединения находятся в стенах производственных помещений.

Не менее значимой экологической задачей на предприятиях фабрикации ядерного топлива является денитрация рафинатов азотокислого аффинажа урана, имеющих повышенное содержание свободной азотной кислоты, которое необходимо снизить из-за ее способствования миграции тяжелых и радиоактивных металлов в прилегающем почвенном слое пульпохранилищ.

В связи с этим актуальным является разработка способов очистки пульпохранилищ от соединений урана и ртути, поиск вариантов демеркуризации ртутисодержащих твёрдых строительных отходов и грунтов, а также решение вопроса по снижению сброса токсичных нитратов в пульпохранилища.

**Степень разработанности темы исследования.** Созданию геохимического барьера вокруг пульпохранилищ посвящены работы Ковалева В.П., Богуславского А.Е. и Козырева А.С. Исупов В.П. предлагал для получения концентрированных рассолов вариант гелиоконцентрирования.

Вопросами переработки ртутьсодержащих промышленных отходов, образовавшихся вследствие деятельности производства по разделению изотопов лития занимались на заводе Y-12 в США (штат Теннесси, Ок-Риджская Национальная лаборатория). Было предложено большое количество методов, как, термических, так и с вывозом грунтов. Следует отметить работы Пауля Кальбо, предложившего

полисульфидную технологию обезвреживания ртути, получившей название SPSS (Sulfur Polymer Stabilization/Solidification). Для связывания ртути Джоао Д., Хонг З., Барнет М. и Лиу Р. предложили использовать полисульфид железа.

Перминова И.В. и Жилин Д.М. изучали взаимодействие гуминовых кислот с ртутью. Никулина У.С. исследовала возможность переработки загрязненных отходов ртутью и радионуклидами методом гидроклассификации в пульсационной колонне. Владимиров А.Г. предложил использовать центробежный концентратор для отделения ртути от пульпы с возможностью возвращать ртуть в производство.

Островским Ю.В. была предложена карбамидная денитрация экстракционных рафинатов с получением нитрата карбамида. В работах Островского Ю.В., Осетрова Н.В., Васильева Ю.Б. Ананьева А.В. предложены варианты переработки нитрата карбамида.

Несмотря на большое количество известных вариантов переработки уран- и ртутьсодержащих отходов и материалов проблема консервации и ликвидации пульпохранилищ предприятий ГК «Росатом» до сих пор не решена. Для ее решения необходима разработка способов, учитывающих климатические условия, в которых находятся пульпохранилища; объемы уран- и ртутьсодержащих отходов; полноту извлечения урана и ртути, находящихся в различных фазах и химических формах; отсутствие образования при переработке вторичных отходов; возможность попутного получения полезных продуктов.

**Цель диссертационной работы** заключается в разработке способов переработки уран- и ртутьсодержащих отходов, образующихся на предприятиях фабрикации ядерного топлива, для снижения их негативного экологического воздействия на окружающую среду.

Для достижения поставленной цели были сформулированы следующие **задачи**:

1. На основе аналитического обзора литературы выбрать наиболее рациональные способы очистки различных отходов от урана и ртути, а также рассмотреть возможные варианты утилизации нитрата карбамида, являющегося продуктом карбамидной денитрации рафинатов процесса азотнокислого аффинажа урана.
2. Определить условия получения углегуминовых препаратов из бурых углей Канско-Ачинского угольного бассейна и исследовать их в качестве сорбента ионов урана и ртути в статических условиях.
3. Изучить газохимическую карбонизацию ртути и разработать способ иммобилизации ртути в твердых отходах для понижения их класса опасности.
4. Установить условия переработки нитрата карбамида и выяснить возможность его применения в процессах аффинажа урана.

**Научная новизна** работы заключается в следующем:

1. Установлено, что углегуминовые препараты, полученные механохимической активацией карбоната натрия или перкарбоната натрия с бурыми углами Канско-Ачинского угольного бассейна, в статических условиях удаляют на 100 % ионы урана

и ртути из модельных растворов и реальных декантатов пульпохранилища ПАО «НЗХК» при pH 7,5. Процесс адсорбции ионов ртути на углегуминовых препаратах происходит по механизму ионного обмена, а ионов урана за счет физического взаимодействия. Сорбционная способность УГП составляет 1,035 ммоль U/g и 1,25 ммоль Hg/g, а сорбционное равновесие достигается в течение 5 суток.

2. Определено, что наиболее эффективно процесс взаимодействия оксида ртути (+2) с углекислым газом протекает при 323 К и давлении 2,5 МПа в течение 5 часов. Степень превращения оксида ртути (+2) в основной карбонат ртути (+2) при этих условиях составляет 85%. Значение кажущейся энергии активации данной реакции составляет 14 кДж/моль. Это указывает, что для ускорения взаимодействия реагентов требуется интенсификация массообменных процессов.

3. Установлено, что процесс гидролиза нитрата карбамида и его смеси с азотной кислотой при атмосферном и повышенном давлениях в интервале температур от 343 до 423 К приводит к получению нитрата аммония. Введение в реакционный объём эквимолярного количества азотной кислоты увеличивает скорость гидролиза нитрата карбамида в 2 раза и не препятствует полноте его превращения в нитрат аммония. Значение кажущейся энергии активации гидролиза нитрата карбамида составляет 28,9 кДж/моль, что сопоставимо с энергией активации ферментативного (уреазы) гидролиза карбамида.

**Теоретическая значимость заключается:**

- в развитии методов получения сорбентов, содержащих гуминовые кислоты, при механохимическом окислении бурых углей в присутствии перкарбоната натрия или карбоната натрия;
- в развитии методов получения основного карбоната ртути (+2) из оксида ртути (+2);
- в развитии методов получения нитрата аммония из нитрата карбамида.

**Практическая значимость заключается:**

- в разработке способа получения углегуминовых препаратов из бурых углей Канско-Ачинского угольного бассейна, эффективно извлекающих ионы урана и ртути из декантатов пульпохранилищ, содержащих отходы предприятий фабрикации ядерного топлива;
- в разработке способа иммобилизации ртути в твердых отходах, позволяющего снизить класс опасности ртути содержащих промышленных отходов (патент РФ на изобретение № 2541258).
- в разработке способа переработки нитрата карбамида в нитрат аммония, позволяющего уменьшить количество отходов, образующихся при карбамидной денитрации рафинатов процесса азотнокислого аффинажа урана, и позволяющего получить десорбирующий реагент, пригодный в гидрометаллургии урана.

**Методология и методы исследования.** Методология работы заключалась в выборе для исследований таких способов переработки уран- и ртутьсодержащих отходов, в которых использовались природоадаптивные материалы, не образовывались вторичные отходы и существовала возможность использовать образующиеся при переработке химические соединения повторно или получать из них полезные продукты.

Для решения поставленных задач в работе были использованы современные физико-химические методы исследований: фотоколориметрический, гравиметрический, гранулометрический, хроматографический, атомно-эмиссионный, рентгенофлуоресцентный и рентгенофазовый, а также ИК-спектроскопия.

#### **Положения диссертационной работы, выносимые на защиту**

1. Результаты исследований сорбционного извлечения ионов урана и ртути углегуминовыми препаратами из уран- и ртутьсодержащих декантатов пульпохранилищ жидких радиоактивных отходов и ртутьсодержащих строительных отходов, обеспечивающих их иммобилизацию в нерастворимой матрице, адаптированной к природе.

2. Способ иммобилизации ртути в твердых отходах, содержащих оксид ртути и металлическую ртуть, включающий стадии окисления металлической ртути водным раствором пероксида водорода и осаждение ртути в виде основного карбоната ртути (+2) путем обработки твердых отходов углекислым газом в автоклаве при давлении углекислого газа 1,5-2,5 МПа.

3. Условия количественного гидролиза нитрата карбамида в нитрат аммония, который может быть использован в качестве десорбирующего реагента в гидрометаллургии урана.

**Личный вклад автора** состоит в планировании и проведении расчетных и экспериментальных работ, обработке и обсуждении полученных результатов, разработке технологических схем и подготовке их к публикации.

**Степень достоверности и апробация результатов** диссертационного исследования подтверждается использованием современных инструментальных методов анализа, согласованием теоретических и экспериментальных результатов, полученных с использованием статистической обработки результатов экспериментов. Научные положения и выводы, сформулированные в диссертации, подкреплены фактическими данными, наглядно представленными в приведенных таблицах и рисунках.

**Апробация работы.** Основные результаты диссертационной работы докладывались и обсуждались на следующих конференциях: на X международной научно-практической конференции «Физико-технические проблемы в науке, промышленности и медицине. Российский и международный опыт подготовки кадров» (Россия, Томск, 2020), на конференции с международным участием «Экологическая, промышленная и энергетическая безопасность» (Россия, Севастополь, 2017), на

В международной конференции «Радиоактивность и радиоактивные элементы в среде обитания человека» (Россия, Томск, 2016), на IV международной конференции «Проблемы рекультивации отходов быта, промышленного и сельскохозяйственного производства» (Россия, Краснодар, 2015), на VII международной научно-практической конференции «Актуальные проблемы урановой промышленности» (Казахстан, Алматы, 2014), отраслевая научно-техническая конференция «Технология и автоматизация атомной промышленности «ТААЭП-2014» (Россия, Северск, 2014), на VIII Российской конференции по радиохимии (Россия, Железногорск, 2015), на X Юбилейной российской научной конференции «Радиационная защита и радиационная безопасность в ядерной технологии» (Россия, Москва, 2015), на Втором международном симпозиуме «Ртуть в биосфере: экологические аспекты» (Россия, Новосибирск, 2015), на международной научной конференции «Ломоносов-2014» (Россия, Москва, 2014).

**Публикации.** результаты диссертации изложены в 18 научных публикациях, из них 3 статьи в журналах, рекомендованных ВАК России, 2 статьи в журналах, входящих в базу данных Scopus и Web of Science, а также получен патент Российской Федерации.

**Структура и объем диссертации.** Диссертационная работа состоит из введения, пяти глав, заключения, списка используемых источников, включающего 160 наименований. Объем работы составляет 158 страниц, в том числе 43 таблицы, 51 рисунок и 4 приложения.

## **ОСНОВНОЕ СОДЕРЖАНИЕ РАБОТЫ**

**В введении** обосновывается актуальность работы, приводятся цели и задачи исследования, формулируются научная новизна и положения, выносимые на защиту, теоретическая и практическая значимость работы, методология и методы исследования, апробация работы, сведения о публикациях, объеме и структуре диссертации.

**В первой главе** представлен обзор литературных данных по методам переработки жидких радиоактивных отходов. Отмечено, что наиболее перспективными для очистки водной чаши пульпохранилища и создания геохимических барьеров на пути миграции урана и ртути являются природоадаптированные сорбенты на основе гуминовых кислот (ГК).

Анализ методов демеркуризации показал, что при переработке больших объемов предпочтительнее использовать способы, направленные на снижение подвижности ртути и общей токсичности отходов за счет изменения ее подвижной формы в отходах до химического водонерастворимого состояния. С этой точки зрения одним из перспективных вариантов демеркуризации является газохимическая карбонизация ртути.

Рассмотрены методы денитрации растворов применительно к рафинатам экстракционного аффинажа урана. В настоящее время одним из перспективных, позволяющих минимизировать непроизводительные потери азотной кислоты, считается способ карбамидной денитрации, в процессе которого накапливается нитрат карбамида ( $\text{CO}(\text{NH}_2)_2 \cdot \text{HNO}_3$ ). Однако вопрос эффективного обращения с  $\text{CO}(\text{NH}_2)_2 \cdot \text{HNO}_3$  не решен. В связи с этим разработка способов утилизации и(или) переработки  $\text{CO}(\text{NH}_2)_2 \cdot \text{HNO}_3$  является актуальной.

**Вторая глава** посвящена описанию условий получения углегуминовых препаратов (УГП) и методик исследований, экспериментальных установок, также дана характеристика используемых реагентов и приведены методы физико-химического анализа, использованные для идентификации и установления физико-химических характеристик изучаемых процессов.

В работе были использованы бурые угли Назаровского месторождения Канско-Ачинского угольного бассейна (содержание ГК до 42%, влажность 11%) «Разрез Сереульский» (Назаровский район Красноярского края) и бурые угли «Разрез Итатский» (влажностью 25-26%, Тяжинский район Кемеровской области, территориально относится к Канско-Ачинскому угольному бассейну).

Для получения УГП из бурого угля использовали планетарную мельницу-активатор «АГО-2». Определение общего выхода ГК в буром угле осуществляли по методике, изложенной в ГОСТ 9517-94.

В экспериментах по изучению сорбции ионов урана и ртути на УГП в пробу раствора добавляли навеску УГП. Полученную суспензию тщательно перемешивали в течение 3 минут и оставляли на 5 суток для установления равновесия. Далее суспензию фильтровали, и в фильтрате определяли содержание ионов урана и ртути. Определение урана проводили по методике фотометрического анализа с помощью арсеназо III. Концентрацию ионов ртути определяли методом титрования. Контроль за содержанием элементов в растворе дополнительно осуществляли на атомно-эмиссионном спектрометре с индуктивной связью плазмой iCAP 6300 Duo.

Значения pH растворов определяли с помощью иономера И-120.1 с использованием стеклянного (ЭСЛ-43-07) и вспомогательного (ЭВЛ-1М3) электродов.

ИК-спектры твердофазных образцов до и после сорбции записывали на ИК-Фурье-спектрометре Nicolet 6700. Образцы готовили в виде таблеток с KBr.

Рентгенофлуоресцентные спектры (РФЛ) продуктов сорбции и окислительного обжига УГП регистрировали на рентгенофлуоресцентном спектрометре Quant'X.

Распределение частиц УГП по размерам определяли на лазерном анализаторе частиц Analysette-22a фирмы Fritsch (Германия).

Рентгенофазовый анализ (РФА) образцов проводили на дифрактометре D8 Advance Bruker (Германия) (база данных JCPDS PDF-4).

Исследования по газохимической карбонизации ртути проводили на лабораторной установке, представленной на рисунке 1.

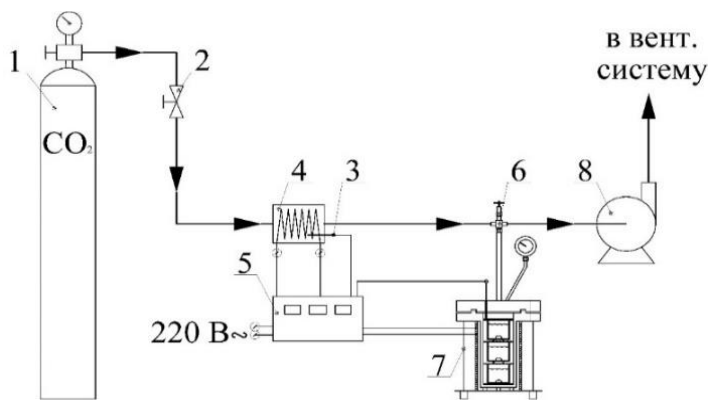


Рисунок 1 – Схема лабораторной установки газохимической карбонизации ртути

В реактор 7 загружали порцию образцов в стеклянных кассетах, закрывали крышкой и устанавливали в печь с электронагревом. Из баллона 1 через кран тонкой регулировки подавали CO<sub>2</sub> в реактор. После набора давления баллон 1 и кран 2 закрывали и выводили температура печи на заданную величину с использованием блока управления и контроля температуры 5. Для ускоренного прогрева реактора предусмотрен нагреватель 4. После завершения эксперимента CO<sub>2</sub> сбрасывали в вентиляцию, охлаждали реактор 7, извлекали образцы и направляли их на анализ. Класс опасности ртутьсодержащих отходов устанавливали в «Центре лабораторного анализа и технических измерений по Сибирскому федеральному округу» г. Новосибирск.

Кристаллы CO(NH<sub>2</sub>)<sub>2</sub>·HNO<sub>3</sub> получали при добавлении к концентрированной азотной кислоте сухого карбамида. Полученный раствор охлаждали до 277 К. Выпавшие в осадок белые кристаллы CO(NH<sub>2</sub>)<sub>2</sub>·HNO<sub>3</sub> отфильтровывали и промывали небольшим количеством дистиллированной воды, а затем сушили в эксикаторе в течение 24 ч.

Эксперименты по гидролизу проводили в интервале температур от 343 до 423 К. До 378 К гидролиз CO(NH<sub>2</sub>)<sub>2</sub>·HNO<sub>3</sub> проводили в лабораторной установке, которая состояла из стеклянной круглодонной колбы объемом 250 мл с обратным холодильником. Колбу с раствором помещали в водяной термостат ( $\Delta t \pm 0,5^\circ$ ).

Процесс гидролиза CO(NH<sub>2</sub>)<sub>2</sub>·HNO<sub>3</sub> при повышенной давлении проводили в течение 4 ч в лабораторном автоклаве объемом 70 мл (материал – сталь 12Х18Н10Т), помещённом в воздушный термостат ( $\Delta t \pm 1,0^\circ$ ), в интервале температур от 378 К до 423 К. Объем рабочего раствора составлял 50 мл. В процессе гидролиза давление в автоклаве возрастало до 20–25 атм.

ИК-спектры, используемых в работе карбамида и CO(NH<sub>2</sub>)<sub>2</sub>·HNO<sub>3</sub>, записывали в области 4000–400 см<sup>-1</sup> на ИК-Фурье спектрометре DFS-85 (Bruker) в таблетках KBr, а ИК-спектры исходных и полученных растворов в области 4000–800 см<sup>-1</sup> в каплях растворов между стеклами из флюорита (CaF<sub>2</sub>).

Степень гидролиза  $\text{CO}(\text{NH}_2)_2 \cdot \text{HNO}_3$  ( $\alpha$ ) определяли по накоплению продуктов гидролиза – ионов  $\text{NH}_4^+$  и  $\text{CO}_2$ . Спектрофотометрический анализ ионов  $\text{NH}_4^+$  осуществляли с использованием реактива Несслера на спектрофотометре DR/2010 фирмы «НАСН». Анализ газообразных продуктов реакции проводили на лабораторном газовом хроматографе ЛХМ-8МД с детектором по теплопроводности.

В исследованиях аффинажного применения  $\text{CO}(\text{NH}_2)_2 \cdot \text{HNO}_3$  в качестве экстрагента использовали 23%-ный раствор ТБФ в органическом разбавителе РЭД-ЗМ.

**В третьей главе** приведены данные по определению условий получения УГП из бурых углей Канско-Ачинского угольного бассейна и результаты исследований их использования в качестве сорбента ионов урана и ртути в статических условиях.

В результате проведенных исследований определено, что при ускорении мельящих шаров 1000 м/с<sup>2</sup> планетарной мельницы АГО-2, времени обработки в течение 20 мин и добавлении реагентов – карбоната натрия или перкарбоната натрия, содержание ГК в бурых углях ОАО «Разрез Серебрский» увеличивается с 21,5% до 56%, а в углях ОАО «Разрез Итатский» с 13,2% до 30%. В обоих случаях при добавлении перкарбоната натрия максимальный выход ГК достигается быстрее. Полученные образцы УГП имеют средний размер 36 мкм, а их рассчитанная удельная площадь поверхности составила 1,319 м<sup>2</sup>/см<sup>3</sup>.

Исследование состава реального декантата показало, что его pH составляет 7,5 и в растворе содержится до 400 мг/л  $\text{CO}_3^{2-}$  ионов и до 2 г/л  $\text{NO}_3^-$ . В виду повышенной концентрации  $\text{CO}_3^{2-}$  и  $\text{NO}_3^-$  ионов в декантате пульпохранилища был сделан вывод, что уран в растворе находится в виде устойчивого комплексного иона  $[\text{UO}_2(\text{CO}_3)_3]^{4-}$  (U), а ртуть в виде иона  $\text{Hg}^{2+}$  (Hg). Исходя из этого модельные водные растворы готовили растворением в них кристаллов  $(\text{NH}_4)_4[\text{UO}_2(\text{CO}_3)_3]$  или  $\text{Hg}(\text{NO}_3)_2$ .

Кривые сорбции урана и ртути из модельных растворов при добавке УГП (ГК = 15,8%) от 0,5 до 25 г/л при температуре 298 К представлены на рис. 2.

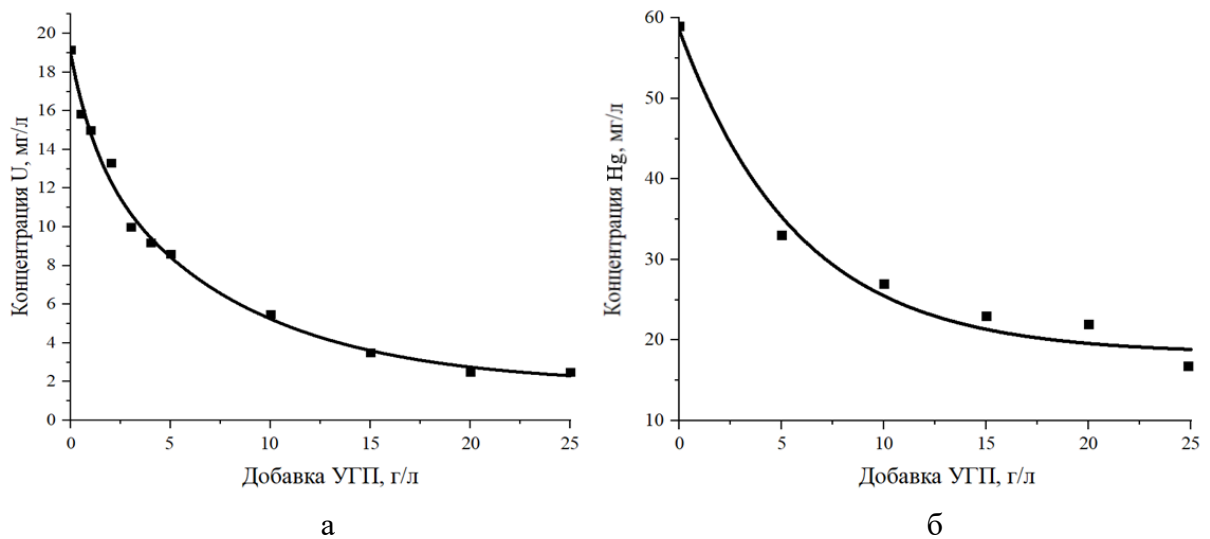


Рисунок 2 – Кривые сорбции из модельных растворов при различной добавке УГП (ГК = 15,8%) при 298 К: а - ионов урана; б - ионов ртути

Для описания сорбционных процессов ионов U и Hg использовали уравнения Ленгмюра, Фрейндлиха, Дубинина-Радушкевича и Темкина. Наилучшее согласование с полученными результатами показала изотерма Фрейндлиха (табл. 1), что указывает на неоднородность адсорбционных мест в УГП.

Таблица – 1. Значения констант уравнений Ленгмюра, Фрейндлиха, Дубинина-Радушкевича и Темкина для сорбции ионов U и Hg на УГП

Ион	Уравнение Ленгмюра			Уравнение Фрейндлиха			Уравнение Дубинина - Радушкевича			Уравнение Темкина		
	A <sub>max</sub> , ммоль/г	K	R <sup>2</sup>	A <sub>max</sub> , ммоль/г	K	R <sup>2</sup>	A <sub>max</sub> , ммоль/г	E, кДж/ моль	R <sup>2</sup>	A <sub>max</sub> , ммоль/г	K	R <sup>2</sup>
[UO <sub>2</sub> (CO <sub>3</sub> ) <sub>3</sub> ] <sup>4-</sup>	-0,03	-0,1	0,77	1,035	120,1	0,98	2,14	7,8	0,98	1	344,1	0,94
Hg <sup>2+</sup>	-0,6	-0,1	0,99	1,25	22,39	0,99	0,57	8,39	0,99	3,5	10,59	0,99

Полученные значения свободной энергии (Е) по уравнению Дубинина-Радушкевича позволили сделать вывод, что адсорбция Hg происходит по механизму ионного обмена, тогда как адсорбция U осуществляется за счет физического взаимодействия. Для уточнения механизма взаимодействия УГП с U и Hg были записаны их ИК-спектры до и после сорбции из модельных растворов, которые представлены на рис. 3, а. Полученные результаты полностью подтвердили выводы о механизме адсорбции Hg и U на УГП, сделанные на основе значений Е, полученных по уравнению Дубинина-Радушкевича.

После контакта УГП с реальным декантатом пульпохранилища был снят его РФЛА-спектр (рис. 3, б), на котором присутствуют пики, относящиеся к U и Hg, что свидетельствует о поглощении этих ионов УГП из реальных декантатов.

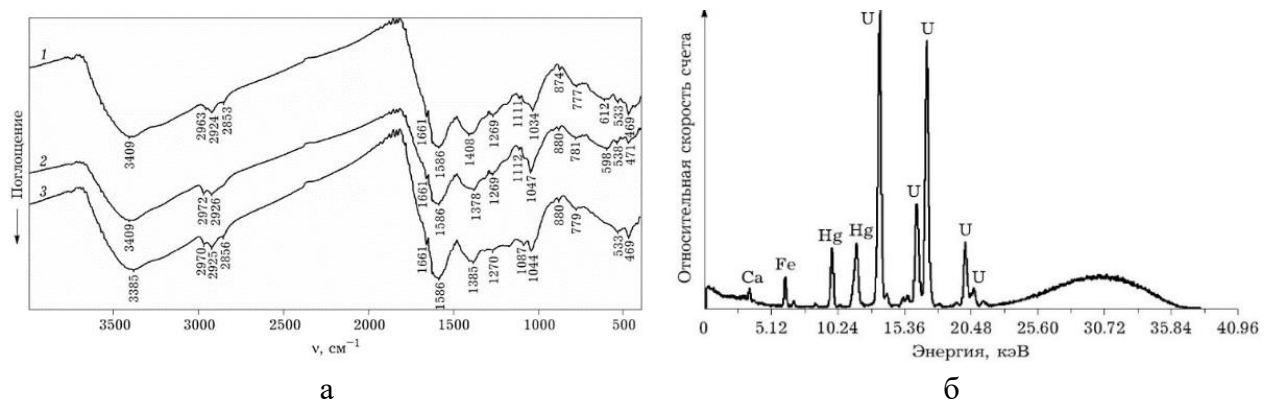


Рисунок 3 – Спектры УГП: а – ИК: 1 – исходный, 2 – после сорбции U; 3 – после сорбции Hg; б – РФЛА после контакта УГП с реальным декантатом

При исследовании сорбции U и Hg на УГП из реальных декантатов пульпохранилища ПАО «НЗХК» в них добавляли навеску УГП с содержанием гуматов 15,8 % или 55,0 %. Процесс сорбции изучали при температуре 298 К.

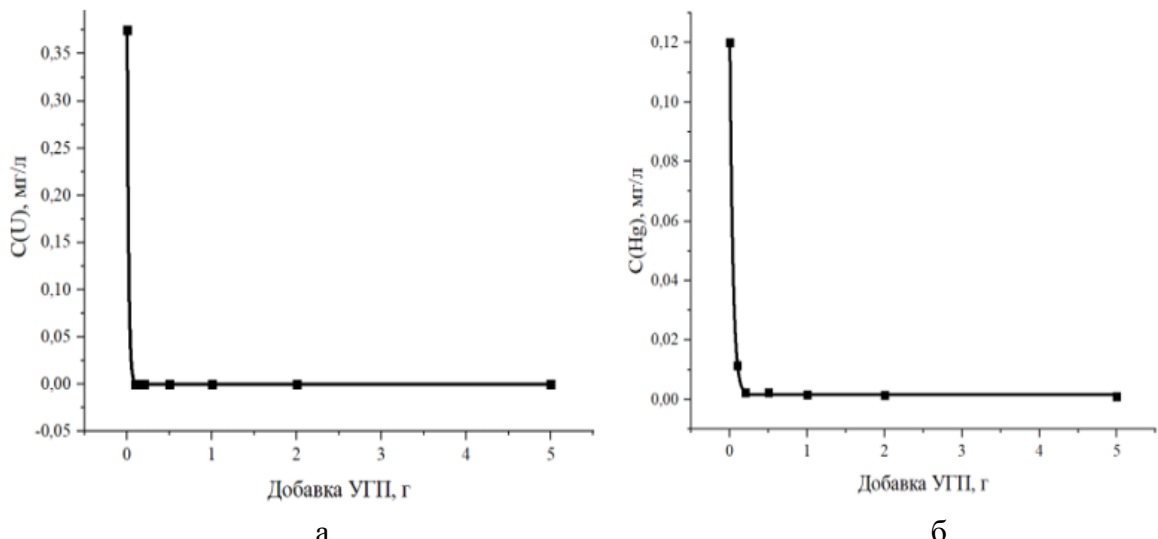


Рисунок 4 – Кривые сорбции U (а) и Hg (б) из реального декантата при добавке УГП (ГК = 55%) при температуре 298 К

Результаты исследований показали, что УГП с содержанием ГК = 55% в статических условиях при pH 7,5 удаляют U и Hg на 100 % из модельных растворов и реальных декантатов пульпохранилища ПАО «НЗХК». На основании полученных данных разработаны рекомендации по внесению УГП в пульпохранилище ПАО «НЗХК» для очистки от U и Hg.

**В четвертой главе** рассматриваются теоретические и экспериментальные результаты исследований по взаимодействию углекислого газа ( $\text{CO}_2$ ) с оксидом ртути ( $\text{HgO}$ ) с получением труднорастворимого в воде основного карбоната ртути ( $\text{HgCO}_3 \cdot 2\text{HgO}$ ). Результаты термодинамического анализа показали, что в диапазоне температур от 273 до 373 К равновесие реакции (1) необратимо сдвинуто в сторону образования  $\text{HgCO}_3 \cdot 2\text{HgO}$ .



На эффективность процесса газохимической карбонизации Hg в экспериментальной работе исследовали влияние времени обработки порошкообразного  $\text{HgO}$  углекислым газом, его давления и температуры. Эксперименты проводили на лабораторной установке, представленной на рис. 1.

При установлении влияния времени на конверсию  $\text{HgO}$  в  $\text{HgCO}_3 \cdot 2\text{HgO}$  использовали образцы  $\text{HgO}$  массой 0,5 г, помещенные в воду объемом 25 мл. Образец обрабатывался  $\text{CO}_2$  при температуре 293 К и давлении 2,5 МПа. В результате было определено, что содержание  $\text{HgO}$  в растворе после 5 ч снижается в ~3 раза (рис. 5, а).

Для определения влияния температуры на взаимодействие  $\text{HgO}$  и  $\text{CO}_2$  навеску  $\text{HgO}$  массой 2 г помещали в 40 мл воды и обрабатывали 5 ч при давлении 2,53 МПа. Температуру варьировали в диапазоне от 293 до 323 К. В результате показано, что при повышении температуры обработка резко возрастает выход  $\text{HgCO}_3 \cdot 2\text{HgO}$  (рис. 5, б).

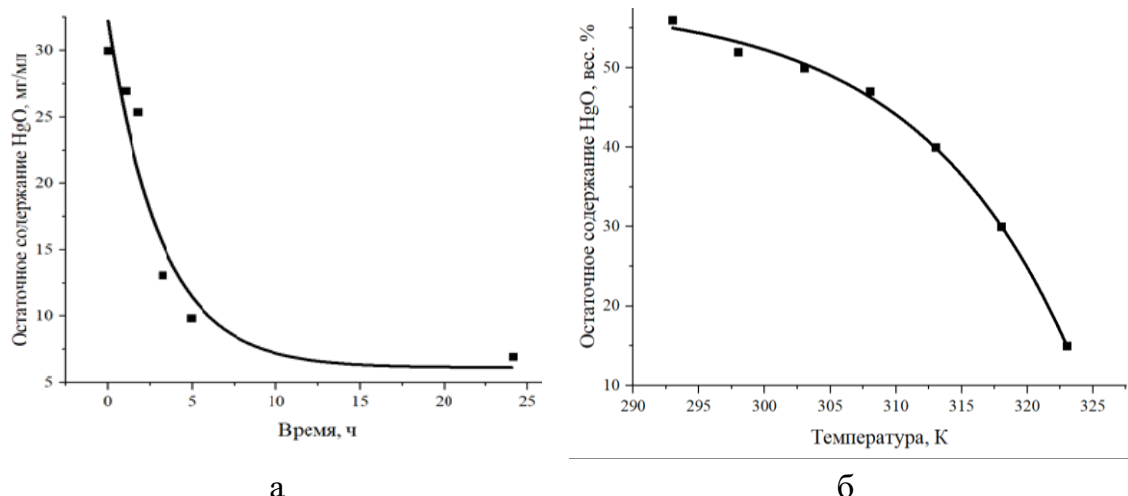


Рисунок 5 – Зависимость содержания HgO после обработки CO<sub>2</sub>: а – от времени обработки CO<sub>2</sub>; б – от температуры обработки CO<sub>2</sub>

При исследовании влияния давления CO<sub>2</sub> на выход HgCO<sub>3</sub>·2HgO навеску HgO массой 2 г помещали в 20 мл воды и выдерживали в течение 24 ч при 293 К. Давление CO<sub>2</sub> варьировали в диапазоне от 0,51 до 2,53 МПа. Количественный анализ показал, что с повышением давления CO<sub>2</sub> выход HgCO<sub>3</sub>·2HgO увеличивается.

По данным РФА во всех исследованных случаях при взаимодействии HgO с CO<sub>2</sub> продукты представляют собой смесь HgO и HgCO<sub>3</sub>·2HgO. На рис. 6 в качестве примера представлены дифрактограммы исходного HgO и образцов после их взаимодействия с CO<sub>2</sub> в течение от 1 до 24 ч. Идентификация фазы HgCO<sub>3</sub>·2HgO было проведено с использованием карточки JCPDS № 32-0657.

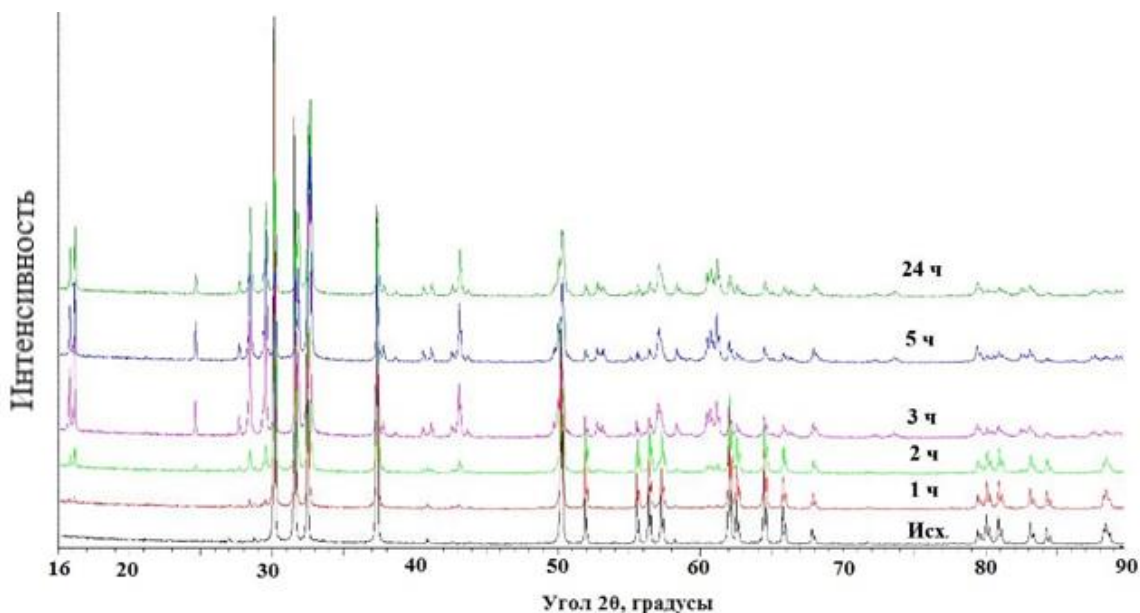


Рисунок 6 – Дифрактограммы исходного HgO и образцов после их взаимодействия с CO<sub>2</sub>

Таким образом, было определено, что наиболее эффективно процесс взаимодействия HgO с CO<sub>2</sub> протекает при 323 К и давлении 2,53 МПа в течение 5 ч. Степень превращения HgO в HgCO<sub>3</sub>·2HgO при этих условиях составляет 85%. Для определения энергии активации процесса конверсии HgO в HgCO<sub>3</sub>·2HgO при обработке CO<sub>2</sub> были получены изотермы при 293 и 303 К и давлении 2,53 МПа. Значение кажущейся энергии активации данной реакции составило 14 кДж/моль. Это указывает, что для ускорения взаимодействия реагентов требуется интенсификация массообменных процессов.

На основании полученных данных была предложена двухступенчатая технологическая схема для проведения процесса окислительно-газохимической иммобилизации ртути, представленная на рис. 7.

В данной схеме реализована возможность обработки ртутьсодержащих грунтов в обогреваемом автоклаве при температуре 293 К с 2,5% раствором H<sub>2</sub>O<sub>2</sub> и CO<sub>2</sub> при давлении от 2,03-2,53 МПа в течение 1 ч. Далее пульпа нагревается до температуры от 323 до 333 К и выдерживается около 4 ч. После разделения суспензии сгущением и фильтрованием твердая фаза направляется на захоронение, а H<sub>2</sub>O<sub>2</sub> в промежуточную емкость на доукрепление и, далее, на обработку новой партии ртутьсодержащих грунтов. CO<sub>2</sub> используется повторно или сбрасывается в атмосферу. Использование для иммобилизации Hg в твердых отходах H<sub>2</sub>O<sub>2</sub> и CO<sub>2</sub> позволяет отойти от использования токсичных реагентов и исключить образование вторичных отходов.

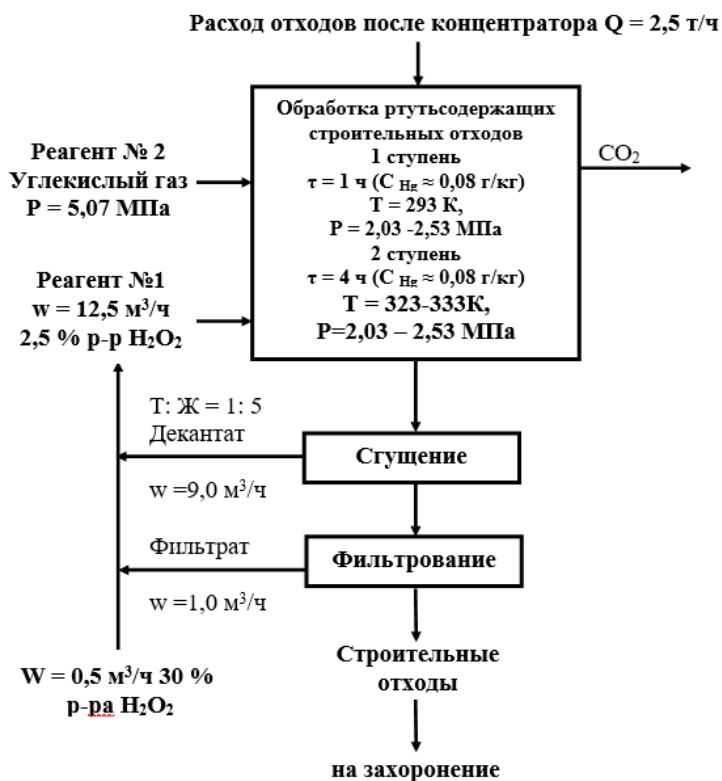


Рисунок 7 – Технологическая схема окислительно-газохимической переработки ртутьсодержащих отходов

В ФГБУ «ЦЛАТИ по СФО» было проведено биотестиирование проб строительных и промышленных грунтов для определения класса опасности отходов после газохимической иммобилизации ртути по предложенной схеме. Установлено, что класс опасности ртутьсодержащих строительных отходов понижается с 3-го до 4-го, а грунта с 4-го до 5-го, что свидетельствует об эффективности разработанного способа.

**В пятой главе** представлены результаты теоретических и экспериментальных исследований реакции гидролиза  $\text{CO}(\text{NH}_2)_2 \cdot \text{HNO}_3$  с получением нитрата аммония ( $\text{NH}_4\text{NO}_3$ ) без или с добавлением азотной кислоты ( $\text{HNO}_3$ ) при атмосферном или повышенном давлении. Термодинамический анализ реакции гидролиза  $\text{CO}(\text{NH}_2)_2 \cdot \text{HNO}_3$  без и в присутствии  $\text{HNO}_3$ , показал принципиальную возможность получения  $\text{NH}_4\text{NO}_3$  в диапазоне температур от 280 до 480 К по реакциям 2 и 3.



В экспериментальных исследованиях гидролиза  $\text{CO}(\text{NH}_2)_2 \cdot \text{HNO}_3$  без  $\text{HNO}_3$  использовали его раствор с концентрацией 200 г/л с  $\text{pH}=0,5$ , а в присутствии  $\text{HNO}_3$  – 200 г/л  $\text{CO}(\text{NH}_2)_2 \cdot \text{HNO}_3$  + 100 г/л  $\text{HNO}_3$  с  $\text{pH}=0,3$ .

В результате было показано, что на степень гидролиза  $\text{CO}(\text{NH}_2)_2 \cdot \text{HNO}_3$  при атмосферном давлении влияет температура, концентрации  $\text{CO}(\text{NH}_2)_2 \cdot \text{HNO}_3$  и  $\text{HNO}_3$ . При этом максимальная степень конверсии  $\text{CO}(\text{NH}_2)_2 \cdot \text{HNO}_3$  в  $\text{NH}_4\text{NO}_3$  при атмосферном давлении не превышает 50 %. Рассчитанная кажущаяся энергия активации ( $E_a$ ) процесса гидролиза  $\text{CO}(\text{NH}_2)_2 \cdot \text{HNO}_3$  без добавки  $\text{HNO}_3$  при атмосферном давлении составила 88,4 кДж/моль, что указывает на протекание процесса в кинетической области.

С целью уточнения качественного состава продуктов реакции гидролиза  $\text{CO}(\text{NH}_2)_2 \cdot \text{HNO}_3$  при атмосферном давлении без добавки  $\text{HNO}_3$  были записаны ИК-спектры гидролизата  $\text{CO}(\text{NH}_2)_2 \cdot \text{HNO}_3$  (200 г/л), полученного при 363 К в течении 20 ч, а также водных растворов  $\text{CO}(\text{NH}_2)_2$  (200 г/л),  $\text{CO}(\text{NH}_2)_2 \cdot \text{HNO}_3$  (200 г/л) и смешанного раствора  $\text{NH}_4\text{NO}_3$  и  $\text{NH}_4\text{HCO}_3$  с концентрациями каждого компонента 200 г/л. Проведенное ИК-спектроскопическое исследование позволило сделать вывод о том, что гидролиз  $\text{CO}(\text{NH}_2)_2 \cdot \text{HNO}_3$  при 363 К протекает полностью без образования полупродуктов.

При гидролизе  $\text{CO}(\text{NH}_2)_2 \cdot \text{HNO}_3$  при температуре более 373 К в автоклаве наблюдается повышение давления, связанное с накоплением  $\text{CO}_2$ . Давление в автоклаве определяется степенью гидролиза, на которую, как показали исследования, влияют температура и время процесса. Определено, что гидролиз  $\text{CO}(\text{NH}_2)_2 \cdot \text{HNO}_3$  с концентрацией 200 г/л за 4 ч в автоклаве при 423 К осуществляется на 94 % (рис. 8, а).

Рассчитанная кажущаяся энергия активации ( $E_a$ ) процесса гидролиза  $\text{CO}(\text{NH}_2)_2 \cdot \text{HNO}_3$  без добавки  $\text{HNO}_3$  при давлении 2,9 МПа составила 28,9 кДж/моль, что сопоставимо с энергией активации ферментативного (уреаза) гидролиза карбамида.

Влияние добавки  $\text{HNO}_3$  на процесс гидролиза  $\text{CO}(\text{NH}_2)_2 \cdot \text{HNO}_3$  исследовали в диапазоне температур от 383 до 423 К в течение 4 ч. Кислоту добавляли в эквимолярном количестве. Полученные данные указывают, что уже при 403 К достигается 100% степень гидролиза  $\text{CO}(\text{NH}_2)_2 \cdot \text{HNO}_3$  (рис. 8, б). Это позволяет сделать вывод, что присутствие  $\text{HNO}_3$  ускоряет процесс гидролиза  $\text{CO}(\text{NH}_2)_2 \cdot \text{HNO}_3$  за счет связывания выделяющегося аммиака.

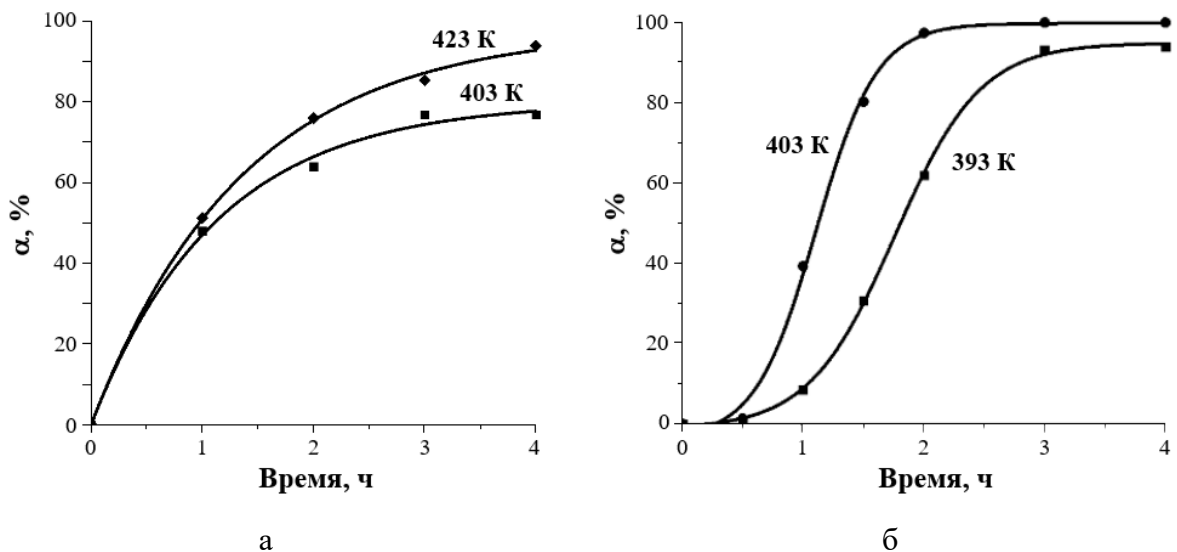


Рисунок 8 – Степень гидролиза ( $\alpha$ , %)  $\text{CO}(\text{NH}_2)_2 \cdot \text{HNO}_3$  в автоклаве (2,9 МПа): а – без добавки  $\text{HNO}_3$ ; б – с добавкой  $\text{HNO}_3$

Таким образом, было установлено, что полностью гидролиз  $\text{CO}(\text{NH}_2)_2 \cdot \text{HNO}_3$  с образованием  $\text{NH}_4\text{NO}_3$  протекает в автоклаве при температуре 403 К в течение 1,5–2 ч и добавке эквимолярного количества  $\text{HNO}_3$ .

Переработку  $\text{CO}(\text{NH}_2)_2 \cdot \text{HNO}_3$  предполагается осуществлять в промышленных условиях на месте использования  $\text{NH}_4\text{NO}_3$ . Доставку до потребителя  $\text{CO}(\text{NH}_2)_2 \cdot \text{HNO}_3$  предполагается осуществлять в твёрдом виде, а его гидролиз проводить на месте. Полученный раствор  $\text{NH}_4\text{NO}_3$  после корректировки рН может быть использован в качестве десорбирующего реагента на стадии нитратной десорбции урана, например, на первичных урановых предприятиях.

Учитывая, что  $\text{CO}(\text{NH}_2)_2 \cdot \text{HNO}_3$  содержит в своем составе  $\text{HNO}_3$  были проведены исследования по его использованию в процессах растворения урановых концентратов ( $\text{U}_3\text{O}_8$ ) и в качестве высаливателя в экстракционном аффинаже урана. Было исследовано влияние добавки  $\text{CO}(\text{NH}_2)_2 \cdot \text{HNO}_3$  в экстракционном аффинаже урана на ёмкость экстрагента (23%-ный ТБФ в органическом разбавителе РЭД-3М), полноту реэкстракции урана из насыщенного экстрагента, а также остаточную концентрацию урана в азотнокислом рафинате. Состав исходных нитратно-карбамидного и азотнокислого растворов представлен в табл. 2, а условия экстракции в табл. 3.

Таблица 2 – Состав урансодержащих растворов

Соединение	Растворы, г/л	
	Нитратно-карбамидный	Азотнокислый
$\text{UO}_2(\text{NO}_3)_2$ (по U)	70,0	70,0
$\text{HNO}_3$	30,0	30,0
$\text{CO}(\text{NH}_2)_2 \cdot \text{HNO}_3$	75,0	–

Таблица 3 – Условия экстракции урана из исходных растворов

Параметр	Показатель
Соотношение фаз на экстракции, О:В	1:1
Время контакта фаз на экстракции, мин	5
Число ступеней экстракции	4
Температура экстракции, К	293
Частота вращения мешалки, мин <sup>-1</sup>	1000

В результате было установлено, что емкость экстрагента по урану из нитратно-карбамидного раствора достигает 98,0 г/л, а из азотнокислого раствора 72 г/л, что объясняется большей кислотностью исходного нитратно-карбамидного раствора. При этом было установлено, что по мере насыщения экстрагента ураном в нитратно-карбамидом растворе расслаивание фаз ускоряется до 60 с по сравнению с азотнокислотным – 175 с.

В результате 4 ступеней экстракции остаточная концентрация рафинатов по урану снижается в нитратно-карбамидном растворе до 13,6 и до 14,1 мг/л в азотнокислом растворе. При охлаждении рафината, полученного после 4-й ступени экстракции из нитратно-карбамидного раствора, до 273 К, выпадает плотный осадок  $\text{CO}(\text{NH}_2)_2 \cdot \text{HNO}_3$  (25–30% от объема раствора), который можно утилизировать или повторно использовать.

При твердофазной реэкстракции урана из насыщенного экстракта на первой ступени извлекается не менее 95,5% урана, а на второй ступени – до 4,5% урана. Полученные результаты позволяют утверждать, что присутствие  $\text{CO}(\text{NH}_2)_2 \cdot \text{HNO}_3$  в исходном растворе не препятствует количественному извлечению урана из экстракта. Условия проведения твердофазной экстракции представлены в табл. 4.

Для оценки накопления избытка  $\text{CO}(\text{NH}_2)_2 \cdot \text{HNO}_3$  при экстракционном аффинаже урана проводили в условиях, когда растворение  $\text{U}_3\text{O}_8$  происходит при избытке  $\text{HNO}_3$  в интервале 0,0–2,0 моль/л, а доводку концентрации  $\text{HNO}_3$  в рафинате до 2,0 моль/л обеспечивали добавкой  $\text{CO}(\text{NH}_2)_2 \cdot \text{HNO}_3$ . Исследования показали, что при этих условиях накопление  $\text{CO}(\text{NH}_2)_2 \cdot \text{HNO}_3$  в технологическом цикле практически отсутствует и он полностью может быть использован как донор  $\text{HNO}_3$  в процессах растворения  $\text{U}_3\text{O}_8$  и коррекции кислотности исходного раствора перед экстрагированием урана ТБФ в органическом разбавителе РЭД-3М.

Таблица 4 – Условия твердофазной реэкстракции урана

Параметр	Показатель
Реэкстрагент	Раствор углеаммонийных солей – 17,5% мас. + 5% мас. $\text{NH}_4\text{OH}$
Соотношение фаз на реэкстракции, О:В	1:1
Время контакта фаз при реэкстракции, мин	30
Число ступеней реэкстракции	2
Температура, К	293
Частота вращения мешалки, мин <sup>-1</sup>	1000

На основании полученных данных по исследованию гидролиза  $\text{CO}(\text{NH}_2)_2 \cdot \text{HNO}_3$  и его использования в экстракционном аффинаже урана предложена технологическая схема ведения экстракционного аффинажа урана, включающая стадии использования  $\text{CO}(\text{NH}_2)_2 \cdot \text{HNO}_3$  и(или) его переработки с получением  $\text{NH}_4\text{NO}_3$ , представленная на рис. 9.

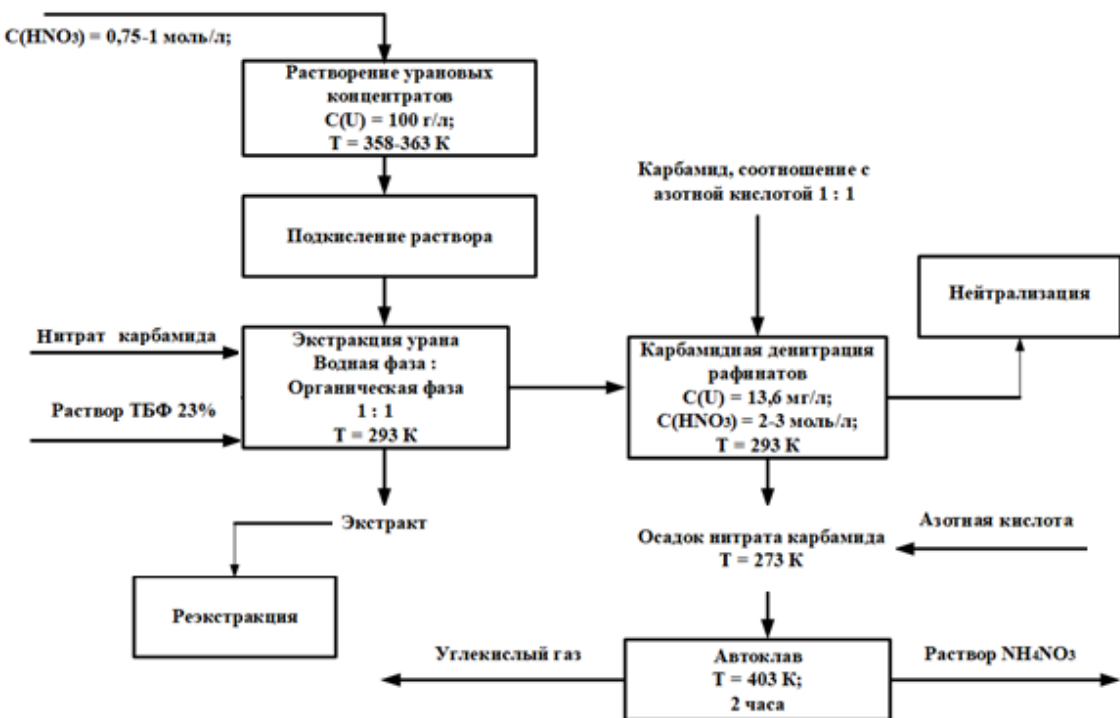


Рисунок 9 – Технологическая схема экстракционного аффинажа урана, включающая стадии использования  $\text{CO}(\text{NH}_2)_2 \cdot \text{HNO}_3$

Предложенная технологическая схема включает растворение  $\text{U}_3\text{O}_8$  в  $\text{HNO}_3$ , перед экстракцией в раствор  $\text{UO}_2(\text{NO}_3)_2$  добавляют  $\text{CO}(\text{NH}_2)_2 \cdot \text{HNO}_3$ , рафинат после экстракции подвергают карбамидной денитрации с отделением осадка  $\text{CO}(\text{NH}_2)_2 \cdot \text{HNO}_3$ . Образующийся  $\text{CO}(\text{NH}_2)_2 \cdot \text{HNO}_3$  может быть возвращен в голову технологического цикла или выведен из него и гидролизован в автоклаве до  $\text{NH}_4\text{NO}_3$  и

далее использован в качестве десорбирующего раствора на уранодобывающих предприятиях.

В **заключении** подведены основные итоги диссертационного исследования, сформулированы основные результаты и выводы:

1. Анализ публикаций по обезвреживанию радиоактивных и техногенных отходов, а также по утилизации нитрата карбамида позволил обосновать выбор углегуминовых препаратов для очистки водной чаши пульпохранилищ от ионов урана и ртути, газохимическую карбонизацию ртути для ее иммобилизации в твердых отходах, а также использование нитрата карбамида в процессе экстракционного аффинажа урана и для получения из него нитрата аммония.

2. Выбраны условия получения углегуминовых препаратов из бурого угля ОАО «Разрез Сереульский» и ОАО «Разрез Итатский» Канско-Ачинского угольного бассейна и определено, что при ускорении мелящих шаров 1000 м/с<sup>2</sup> планетарной мельницы АГО-2, времени обработки 20 мин и добавлении реагентов – карбоната натрия или перкарбоната натрия, содержание гуминовых кислот в бурых углях ОАО «Разрез Сереульский» увеличивается с 21,5% до 56%, а в углях ОАО «Разрез Итатский» с 13,2% до 30%. В обоих случаях при добавлении перкарбоната натрия максимальный выход гуминовых кислот достигается быстрее.

3. В результате проведенных исследований процесса сорбции в статических условиях показано, что углегуминовые препараты удаляют на 100% ионы урана и ртути из модельных растворов и реальных декантатов пульпохранилища ПАО «НЗХК». Процесс сорбции ионов ртути и урана на углегуминовых препаратах включает процессы ионного обмена и физического взаимодействия, температура в интервале от 279 до 298 К практически не влияет на процесс сорбции, а сорбционное равновесие достигается в течение 5 суток. Сорбционная способность УГП в статических условиях составляет 1,035 ммоль U/г и 1,25 ммоль Hg/г. Полученные данные позволили разработать рекомендации по внесению углегуминового препарата в пульпохранилище ПАО «НЗХК».

4. Результаты термодинамического анализа и экспериментальных исследований взаимодействия оксида ртути (+2) с углекислым газом показали, что единственным продуктом реакции является основной карбонат ртути (+2). Определено, что наиболее эффективно процесс взаимодействия оксида ртути (+2) с углекислым газом протекает при 323 К и давлении 2,5 МПа в течение 5 часов. Степень превращения оксида ртути (+2) в основной карбонат ртути (+2) при этих условиях составляет 85%. Значение кажущейся энергии активации данной реакции составляет 14 кДж/моль. Это указывает, что для ускорения взаимодействия реагентов требуется интенсификация массообменных процессов.

5. Разработан способ двухступенчатой окислительно-газохимической переработки ртутьсодержащих отходов, который заключается в предварительном переводе металлической ртути в оксид ртути (+2) путем обработки пульпы пероксидом

водорода, а затем углекислым газом для получения нерастворимого основного карбоната ртути (+2). Согласно протоколам испытаний токсичности образцов строительных отходов и грунтов, полученных в «Центре лабораторного анализа и технических измерений по Сибирскому федеральному округу» (г. Новосибирск), предложенный способ газохимической карбонизации ртутьсодержащих отходов позволяет снизить класс опасности строительных отходов с 3-го (умеренно опасные отходы) до 4-го (малоопасные отходы), а грунтов с 4-го (малоопасные отходы) до 5-го (практически неопасные отходы).

6. Результаты термодинамического анализа и экспериментальных исследований гидролиза нитрата карбамида и его смеси с азотной кислотой показали, что единственным продуктом реакции является нитрат аммония. Установлено, что при повышенном давлении введение в реакционный объём эквимолярного количества азотной кислоты увеличивает скорость гидролиза нитрата карбамида в 2 раза и не препятствует полноте его превращения в нитрат аммония. Значение кажущейся энергии активации гидролиза нитрата карбамида составляет 28,9 кДж/моль, что сопоставимо с энергией активации ферментативного (уреазы) гидролиза карбамида. Полученный по данному способу раствор нитрата аммония после коррекции pH можно использовать в качестве десорбирующего реагента в гидрометаллургии урана.

7. Исследовано влияние добавки нитрата карбамида в экстракционном аффинаже урана на емкость экстрагента (23%-ный ТБФ в органическом разбавителе РЭД-ЗМ), полноту реэкстракции урана из насыщенного экстрагента, а также остаточную концентрацию урана в азотокислом рафинате. Установлено, что емкость экстрагента по урану для нитратно-карбамидного и азотокислого растворов сопоставима, что позволяет использовать нитрат карбамида в качестве высаливателя уранилнитрата. Остаточная концентрация урана в рафинате после карбамидной денитрации не превышает 14,1 мг/л. При твердофазной реэкстракции урана из насыщенного экстракта на первой ступени извлекается не менее 95,5% урана, а на второй ступени – до 4,5% урана. Полученные результаты позволяют утверждать, что присутствие нитрата карбамида в исходном растворе не препятствует количественному извлечению урана из экстракта.

## **ОСНОВНЫЕ ПУБЛИКАЦИИ ПО ТЕМЕ ДИССЕРТАЦИИ**

### **В рецензируемых научных журналах, входящих в список ВАК**

1. Островский, Д.Ю. Гидролиз продуктов карбамидной денитрации азотокислых рафинатов экстракционного аффинажа урана / Ю.В. Островский, Г.М. Зaborцев, И.И. Жерин, Н.Б. Егоров, Д.Ю. Островский // Альтернативная энергетика и экология. – 2017. – № 13-15(225-227). – С. 100-110.
2. Островский, Д.Ю. Использование углегуминовых препаратов для локализации урана и ртути в жидких и твердых производственных стоках предприятий ГК

"Росатом" / Ю.В. Островский, Г.М. Зaborцев, В.В. Цивелев, А.В. Бабушкин, Д.Ю. Островский, Н.Б. Егоров, С.Н. Чегринцев // Химия в интересах устойчивого развития. – 2016. – Т. 24. – № 6. – С. 781-787.

3. Островский, Д.Ю. Газохимическая карбонизация ртути в производственных отходах / Ю.В. Островский, Г.М. Зaborцев, И.М. Белозеров, А.В. Бабушкин, Д.Ю. Островский, В.А. Минин // Химия в интересах устойчивого развития. – 2014. – Т. 22. – № 2. – С. 157-162.

### **В зарубежных изданиях, индексируемых в базах данных Scopus и Web of Science**

4. Ostrovskii, D.Y. Use of carbamide nitrate in the hydrometallurgy of uranium / Y.V. Ostrovskii, G.M. Zabortsev, D.Y. Ostrovskii // Radiochemistry. – 2020. – Т. 62. – № 5. – С. 624-628.

5. Ostrovskii, D.Y. Hydrolysis of urea nitrate concentrated solutions / D.Y. Ostrovskii, G.M. Zabortsev, Y.V. Ostrovskii // Bulletin of the Tomsk Polytechnic University. Geo Assets Engineering. – 2020. – Т. 331. – № 5. – С. 158-165.

### **Патенты**

6. Способ иммобилизации ртути в твердых отходах: пат. № 2541258 С1 Российская Федерация, МПК C22B 43/00, C22B 3/04. Островский Ю.В., Зaborцев Г.М., Белозеров И.М., Бабушкин А.В., Островский Д.Ю., Минин В.А. – № 2013133517/02: заявл. 18.07.2013: опубл. 10.02.2015, Бюл. № 4.

### **Публикации в прочих научных изданиях**

7. Островский, Д.Ю. Детоксикация твёрдых ртутьсодержащих отходов / Д.Ю. Островский, А.Ю. Островский // Физико-технические проблемы в науке, промышленности и медицине. Российской и международный опыт подготовки кадров. Сб. тезисов докладов X Международной научно-практической конференции. – Томск, 2020. – С. 123.

8. Островский, Д.Ю. Дезактивация техногенных водоемов предприятий ГК «Росатом» / Д.Ю. Островский, С.А. Буймов // Физико-технические проблемы в науке, промышленности и медицине. Российской и международный опыт подготовки кадров. Сб. тезисов докладов X Международной научно-практической конференции. – Томск, 2020. – С. 124.

9. Островский, Д.Ю. Использование углегуминовых препаратов для обработки декантатов пульпохранилищ урановых производств / Ю.В. Островский, Г.М. Зaborцев, В.А. Черноок, Д.Ю. Островский // Экологическая, промышленная и энергетическая безопасность. Сб. статей по материалам научно-практической конференции с международным участием. – Севастополь, 2017. – С. 1020-1023.

10. Островский, Д.Ю. Применение углегуминовых препаратов для детоксикации промышленных отходов и техногенных водоемов от урана и ртути / Ю.В. Островский, Г.М. Зaborцев, И.И. Жерин, Д.Ю. Островский // Радиоактивность и радиоактивные элементы в среде обитания человека. Материалы V Международной конференции. – Томск, 2016. – С. 496-499.
11. Островский, Д.Ю. Понижение класса опасности ртутьсодержащих твердых отходов / Ю.В. Островский, Г.М. Зaborцев, Д.Ю. Островский // Проблемы рекультивации отходов быта, промышленного и сельскохозяйственного производства. Материалы IV международной научной экологической конференции (с участием экологов Азербайджана, Армении, Беларуси, Германии, Грузии, Казахстана, Киргизии, Латвии, Ливана, Молдовы, Приднестровья, России, Словакии, Узбекистана и Украины). – Краснодар, 2015. – С. 602-605.
12. Островский, Д.Ю. Газохимическая иммобилизация ртути в твёрдых производственных отходах / Ю.В. Островский, Г.М. Зaborцев, И.М. Белозёров, Д.Ю. Островский // VII Международная научно-практическая конференция «Актуальные проблемы урановой промышленности». – Алма-Ата, 2014. – С. 362-367.
13. Островский, Д.Ю. Использование гуматов для детоксикации техногенных водоёмов ураноперерабатывающих предприятий и загрязнённых почв / Ю.В. Островский, Г.М. Зaborцев, Д.Ю. Островский, И.Ю. Журкеева // VII Международная научно-практическая конференция «Актуальные проблемы урановой промышленности». – Алма-Ата, 2014. – С. 378-384.
14. Островский, Д.Ю. Понижение класса опасности твёрдых промышленных отходов, загрязненных ртутью / Ю.В. Островский, И.М. Белозёров, Г.М. Зaborцев, Д.Ю. Островский // Отраслевая научно-техническая конференция, посвященная 55-летию СТИ НИЯУ МИФИ «Технология и автоматизация атомной промышленности «ТААЭП-2014». – Северск, 2014. – С. 18.
15. Островский, Д.Ю. Применение углегуминовых препаратов для иммобилизации радиоактивных металлов в производственных отходах / Ю.В. Островский, В.Г. Глушков, Г.М. Зaborцев, Д.Ю. Островский // VIII Российской конференция по радиохимии. – Железногорск, 2015. – С. 308.
16. Островский, Д.Ю. Углегуминовые препараты – перспективный реагент для обращения с производственными отходами предприятий ГК «РОСАТОМ» / Ю.В. Островский, В.Г. Глушков, Г.М. Зaborцев, Д.Ю. Островский // Сб. тезисов докладов X Юбилейной российской научной конференции «Радиационная защита и радиационная безопасность в ядерных технологиях». – Москва, 2015. – С. 199-200.
17. Островский, Д.Ю. Иммобилизация ртути в твёрдых и жидких производственных отходах/ Ю.В. Островский, И.М. Белозёров, Г.М. Зaborцев, А.В. Бабушкин, Д.Ю. Островский, В.А. Минин // Второй Международный Симпозиум «Ртуть в биосфере: Эколого-геохимические аспекты». – Новосибирск, 2015. – С. 279-282.